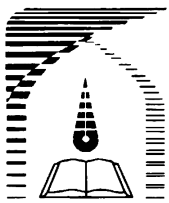


الْفَلَقُ



دانشگاه تربیت مدرس  
دانشکده فنی و مهندسی  
بخش مهندسی مکانیک

پایان نامه کارشناسی ارشد

## بررسی دما در فرآیند تراشکاری به کمک ارتعاشات آلتراسونیک

بابک غلامزاده

استاد راهنما:

دکتر محمد جواد ناطق



بسمه تعالى

## تاییدیه اعضای هیات داوران حاضر در جلسه دفاع از پایان نامه

آقای پاپک غلامزاده پایان نامه ۶ واحدی خود را با عنوان بررسی دما در فرآیند

تراشکاری به کمک ارتعاش آنتراسونیک در تاریخ ۱۳۸۹/۳/۲۳ ارائه کردند.

اعضای هیات داوران نسخه نهایی این پایان نامه را از نظر فرم و محتوا تایید کرده و پذیرش آنرا برای تکمیل درجه کارشناسی ارشد مهندسی مکانیک - ساخت و تولید پیشنهاد می کنند.

عضو هیات داوران	نام و نام خانوادگی	رتبه علمی	امضا
استاد راهنمای	دکتر محمد جواد ناطق	دانشیار	الله
استاد ناظر	دکتر محمدحسین صادقی	استاد	صادقی
استاد ناظر	دکتر یوسف حجت	دانشیار	صادقی
استاد ناظر	دکتر محمد رضا رازفر	دانشیار	صادقی
مدیر گروه (یا نماینده گروه تخصصی)	دکتر محمدحسین صادقی	استاد	صادقی

## آیین نامه حق مالکیت مادی و معنوی در مورد نتایج پژوهش‌های علمی دانشگاه تربیت مدرس

مقدمه: با عنایت به سیاست‌های پژوهشی و فناوری دانشگاه در راستای تحقق عدالت و کرامت انسانها که لازمه شکوفایی علمی و فنی است و رعایت حقوق مادی و معنوی دانشگاه و پژوهشگران، لازم است اعضای هیأت علمی، دانشجویان، دانشآموختگان و دیگر همکاران طرح، در مورد نتایج پژوهش‌های علمی که تحت عنوانین پایان‌نامه، رساله و طرحهای تحقیقاتی با همانگی دانشگاه انجام شده است، موارد زیر را رعایت نمایند:

ماده ۱- حق نشر و تکثیر پایان‌نامه/ رساله و درآمدهای حاصل از آنها متعلق به دانشگاه می‌باشد ولی حقوق معنوی پدید آورندگان محفوظ خواهد بود.

ماده ۲- انتشار مقاله یا مقالات مستخرج از پایان‌نامه/ رساله به صورت چاپ در نشریات علمی و یا ارائه در مجتمع علمی باید به نام دانشگاه بوده و با تایید استاد راهنمای اصلی، یکی از اساتید راهنمای، مشاور و یا دانشجو مسئول مکاتبات مقاله باشد. ولی مسئولیت علمی مقاله مستخرج از پایان‌نامه و رساله به عهده اساتید راهنمای و دانشجو می‌باشد.

تبصره: در مقالاتی که پس از دانشآموختگی بصورت ترکیبی از اطلاعات جدید و نتایج حاصل از پایان‌نامه/ رساله نیز منتشر می‌شود نیز باید نام دانشگاه درج شود.

ماده ۳- انتشار کتاب، نرم افزار و یا آثار ویژه (اثری هنری مانند فیلم، عکس، نقاشی و نمایشنامه) حاصل از نتایج پایان‌نامه/ رساله و تمامی طرحهای تحقیقاتی کلیه واحدهای دانشگاه اعم از دانشکده ها، مراکز تحقیقاتی، پژوهشکده ها، پارک علم و فناوری و دیگر واحدهای باید با مجوز کتبی صادره از معاونت پژوهشی دانشگاه و براساس آئین نامه های مصوب انجام شود.

ماده ۴- ثبت اختراع و تدوین دانش فنی و یا ارائه یافته ها در جشنواره های ملی، منطقه ای و بین‌المللی که حاصل نتایج مستخرج از پایان‌نامه/ رساله و تمامی طرحهای تحقیقاتی دانشگاه باید با همانگی استاد راهنمای یا مجری طرح از طریق معاونت پژوهشی دانشگاه لازم گیرد.

ماده ۵- این آیین‌نامه در ۵ ماده و یک تبصره در تاریخ ۸۷/۴/۲۳ در شورای پژوهشی و در تاریخ ۸۷/۷/۱۵ شورای دانشگاه به تایید رسید و در جلسه مورخ ۸۷/۷/۱۵ شورای دانشگاه به تصویب رسیده و از تاریخ تصویب در شورای دانشگاه لازم الاجرا است.

«اینجانب.....دانشگاه تربیت معلم-دانشجوی رشت.....بروزی.....۱۳۸۶.....و روای سال تحصیلی.....امتحان افسر.....دانشکده فنی-هنری.....متعهد می‌شوم کلیه نکات مندرج در آئین نامه حق مالکیت مقطع .....دانشگاه .....دانشگاه تربیت مدرس را در انتشار یافته های علمی مستخرج از پایان نامه / رساله تحصیلی خود رعایت نمایم. در صورت تخلف از مفاد آئین نامه فوق الاشعار به دانشگاه وکالت و نمایندگی می دهم که از طرف اینجانب نسبت به لغو امتیاز اختراع بنام بنده و یا هر گونه امتیاز دیگر و تغییر آن به نام دانشگاه اقدام نماید. ضمناً نسبت به جبران فوری ضرر و زیان حاصله بر اساس برآورد دانشگاه اقدام خواهم نمود و بدینوسیله حق هر گونه اعتراض را از خود سلب نمودم»

امضا:.....  
تاریخ:.....

۱۹۱۸/۱

## آیین نامه چاپ پایان نامه (رساله) های دانشجویان دانشگاه تربیت مدرس

نظر به اینکه چاپ و انتشار پایان نامه (رساله) های تحصیلی دانشجویان دانشگاه تربیت مدرس، مبین بخشی از فعالیتهای علمی - پژوهشی دانشگاه است بنابراین به منظور آگاهی و رعایت حقوق دانشگاه، دانش آموختگان این دانشگاه نسبت به رعایت موارد ذیل متعهد می شوند:

ماده ۱: در صورت اقدام به چاپ پایان نامه (رساله) خود، مرتب را قبلاً به طور کتبی به «دفتر نشر آثار علمی» دانشگاه اطلاع دهد.

ماده ۲: در صفحه سوم کتاب (پس از برگ شناسنامه) عبارت ذیل را چاپ کند:

«کتاب حاضر، حاصل پایان نامه کارشناسی ارشد / رساله دکتری نگارنده در رشته مطالعه مطالعه است که در سال

در دانشکده فن - هنر ۱۳۸۹

دانشگاه تربیت مدرس به راهنمایی سرکار خانم/جناب آقای دکتر محمد جواد ناطق و مشاوره سرکار خانم/جناب آقای دکتر

مشاوره سرکار خانم/جناب آقای دکتر از آن دفاع شده است.»

ماده ۳: به منظور جبران بخشی از هزینه های انتشارات دانشگاه، تعداد یک درصد شمارگان کتاب (در هر نوبت چاپ) را به «دفتر نشر آثار علمی» دانشگاه اهدا کند. دانشگاه می تواند مازاد نیاز خود را به نفع مرکز نشر درعرض فروش قرار دهد.

ماده ۴: در صورت عدم رعایت ماده ۳، ۵٪ بهای شمارگان چاپ شده را به عنوان خسارت به دانشگاه تربیت مدرس، تأدیه کند.

ماده ۵: دانشجو تعهد و قبول می کند در صورت خودداری از پرداخت بهای خسارت، دانشگاه می تواند خسارت مذکور را از طریق مراجع قضایی مطالبه و وصول کند؛ به علاوه به دانشگاه حق می دهد به منظور استیفای حقوق خود، از طریق دادگاه، معادل وجه مذکور در ماده ۴ را از محل توقيف کتابهای عرضه شده نگارنده برای فروش، تامین نماید.

ماده ۶: اینجانب سید علی‌فالواز دانشجوی رشته هنر مطالعه مقطع کارشناس ارشد تعهد فوق وضمنت اجرایی آن را قبول کرده، به آن ملتزم می شوم.

نام و نام خانوادگی:

تاریخ و امضا:

۱۳۸۹

تقدیم

بمسر عزیزم

## پاسکزاری

برای گخارنده افتخار بزرگی بود که زیر نظر و راهنمایی استاد کرامی ، جناب آقای دکتر محمد جواد ناطق این پایان نامه را به انجام رسانم ، بدین وسیله از زحات و اعتماد ایشان صمیمانه قدردانی می نایم .

از دوستان غریزم بخصوص آقایان حمید سلیمانی مصر، وحید حمدی پور، حمید جمشیدی، فرهاد حلیمی و محمد فشنگپور که در طول این پایان نامه یارای بنده بودند نهایت مشکر را دارم .

لازم می دانم از تک تک اساتید که تا حال از محضر شان کسب علم نموده ام نیز مشکر نایم .

و در آخر از زحات بی دفع پدر و مادرم و صبر و پشتگردی همسرم در این مقال پاسکزاری نایم .

## چکیده

پرهزینه و سخت بودن ماشینکاری مواد کامپوزیتی و سوپر الیاژهای جدید، محققان را برآن می‌دارد، تا برای کاهش سایش ابزار، نیروهای ماشینکاری، صافی سطح و غیره، از روشی بهره‌گیرند که با کاهش سرعت برشی توانایی، ماشینکاری را نیز حفظ نماید. این مهم با بکارگیری ابزار مرتعش با فرکانس‌های بالای فراصوت میسر گردید. از آنجائیکه افزایش دمای ابزار، یکی از مهمترین عوامل در افزایش سایش آن است، بدین خاطر پایان‌نامه حاضر بررسی دقیق تغییرات دما، بالاخص تأثیر پارامترهای ارتعاشی روی میزان دمای ابزار در فرآیند تراشکاری به کمک ارتعاشات آلتراسونیک (*UAT*) را پوشش می‌دهد. برای نیل به این مقصود ابتدا اشاراتی به تاریخچه‌ای از کابرد ارتعاشات آلتراسونیک در ماشینکاری، ویژگی‌های امواج آلتراسونیک، مزایا و محدودیت‌های فرآیند تراشکاری به کمک ارتعاشات آلتراسونیک و بررسی دما در ماشینکاری معمولی (*CT*) شده است. با انجام آزمایش‌های تجربی اندازه‌گیری نیرو، علاوه بر تعیین ضریب اصطکاک برای شبیه‌سازی، با مقایسه نیروهای استخراج شده از شبیه‌سازی به سبب نزدیکی نتایج با یکدیگر، صحه‌گذاری روی درستی شبیه‌سازی انجام گردید و در ادامه، مراحل شبیه‌سازی اجزای محدود فرآیندهای تراشکاری معمولی و ارتعاشی با تحلیل کوبیل دما- جابجایی برای قطعه‌کار با آلیاژ *AL7075-T6* و ابزار کاربیدی، ذکر شده است. علاوه بر این، نتایج شبیه‌سازی دمایی با نتایج تجربی و شبیه‌سازی دمایی ماشینکاری معمولی سایر محققین، مورد مقایسه قرار گرفت و با نزدیک بودن نتایج با یکدیگر، صحه‌گذاری مجدد روی شبیه‌سازی دمایی ماشینکاری صورت پذیرفت. نتایج حاصل عبارتند از اینکه، در *UAT* به مانند تراشکاری معمولی میزان تأثیر سرعت برشی بر دما، بیشتر از نرخ پیشروی است و هنگام درگیری ابزار با قطعه‌کار، میزان افزایش دما نسبت به حالت *CT* بیشتر از کاهش آن در هنگام جدایی ابزار از قطعه‌کار است. همچنین با افزایش دامنه و فرکانس ارتعاش، دمای ماکزیمم ابزار نیز افزایش یافته و در سرعت ارتعاشی ثابت، تأثیر میزان افزایش دامنه ارتعاشی روی افزایش دما بیشتر از افزایش فرکانس ارتعاشی است.

**واژگان کلیدی:** دمای تراشکاری، ارتعاشات آلتراسونیک، شبیه‌سازی اجزای محدود

## فهرست مطالب

عنوان.....	صفحه
فهرست مطالب .....	۱
فهرست شکل‌ها .....	۵
فهرست جدول‌ها .....	۶
نمادها .....	۷
فصل ۱ - مقدمه .....	۱
۱-۱ - هدف .....	۲
۱-۲ - تاریخچه .....	۲
۱-۳ - سازماندهی پایان‌نامه .....	۹
فصل ۲ - ارتعاشات امواج آلتراسونیک .....	۱۰
۲-۱ - امواج آلتراسونیک .....	۱۱
۲-۱-۱ - مقدمه .....	۱۱
۲-۱-۲ - اقسام امواج آلتراسونیک .....	۱۱
۲-۱-۳ - پارامترهای موج آلتراسونیک .....	۱۱
۲-۱-۴ - امپدانس صوتی ویژه .....	۱۲
۲-۱-۵ - شدت صوتی و فشارصوتی .....	۱۲
۲-۲ - تولید ارتعاشات آلتراسونیک .....	۱۲
۲-۳ - هورن آلتراسونیک (متمرکزکننده) .....	۱۴
۲-۳-۱ - مقدمه .....	۱۴
۲-۳-۲ - انواع هورن .....	۱۵
۲-۳-۳ - خصوصیات هورن .....	۱۵
۲-۳-۴ - هورن مناسب برای تراشکاری .....	۱۶
۲-۴ - کاربرد امواج آلتراسونیک .....	۱۷
۲-۴-۱ - کاربردهای عمومی ارتعاشات آلتراسونیک .....	۱۷
۲-۴-۲ - کاربردهای ساخت و تولیدی ارتعاشات آلتراسونیک .....	۱۸
فصل ۳ - تراشکاری به کمک ارتعاشات آلتراسونیک .....	۲۰
۳-۱ - مقدمه .....	۲۱

۲۲	۲-۳- جهت‌های اعمال ارتعاش.....
۲۴	۳-۳- مکانیزم براده‌برداری در فرآیند <i>UAT</i> .....
۲۵	۴-۳- محدوده دامنه ارتعاشی فرآیند <i>UAT</i> .....
۲۶	۵-۳- تأثیر ارتعاشات آلتراسونیک روی پارامترهای ماشینکاری.....
۲۶	۱-۵-۳- مقدمه.....
۲۶	۲-۵-۳- ساختار مواد و کیفیت سطح.....
۲۷	۳-۵-۳- نیروهای ماشینکاری.....
۲۸	۴-۵-۳- کار سختی و پهنانی ناحیه متأثر از ماشینکاری.....
۲۹	۵-۵-۳- تنش‌های پسماند حاصل از ماشینکاری.....
۲۹	۶-۵-۳- میزان سایش ابزار.....
۳۰	۶-۳- تأثیرات روانکاری روی فرآیند <i>UAT</i> .....
۳۰	۷-۳- بررسی گرمایی فرآیند تراشکاری به کمک ارتعاشات آلتراسونیک .....
۳۲	۴- برشی دما در فرآیند تراشکاری.....
۳۳	۱-۴- مقدمه.....
۳۴	۲-۴- انرژی حرارتی در ماشینکاری .....
۳۵	۳-۴- عوامل تأثیرگذار روی دمای حاصل از ماشینکاری.....
۳۶	۴-۴- عوامل تأثیرگذار روی حداکثر دمای بین ابزار و براده.....
۳۷	۵-۴- توزیع دما در ماشینکاری متعامد.....
۳۸	۶-۴- روش‌های اندازه‌گیری دمای ماشینکاری.....
۳۹	۷-۴- بررسی تحلیلی فرآیند ماشینکاری.....
۳۹	۱-۷-۴- مدل تحلیلی <i>Chandra sekara , venkatesh</i> .....
۴۱	۲-۷-۴- مدل تحلیلی <i>Shaw</i> و <i>Loewen</i> .....
۴۴	۳-۷-۴- مدل تحلیلی <i>Bothroyd</i> .....
۴۵	۴-۷-۴- ضعف مدل‌های آنالیز تحلیلی.....
۴۵	۸-۴- تأثیر ارتعاشات آلتراسونیک روی پارامترهای اثرگذار در دمای ماشینکاری .....
۴۵	۱-۸-۴- مقدمه.....
۴۶	۲-۸-۴- تأثیر ارتعاشات آلتراسونیک روی ضریب اصطکاک .....
۴۹	۳-۸-۴- تأثیر ارتعاشات آلتراسونیک روی خواص مکانیکی مواد .....
۵۲	۵- برشی تجربی دما و نیروهای تراشکاری .....

۵۳	۱-۵ - مقدمه.....
۵۳	۲-۵ - آزمایش آنالیز مواد آلیاژ آلومینیوم.....
۵۳	۳-۵ - آماده سازی قطعه کار.....
۵۴	۴-۵ - انتخاب ابزار.....
۵۵	۵-۵ - شکل هورن.....
۵۵	۶-۵ - گیره بندی هورن.....
۵۵	۷-۵ - دستگاه آلتراسونیک.....
۵۵	۸-۵ - دینامومتر.....
۵۶	۹-۵ - دستگاه تراش.....
۵۷	۱۰-۵ - دستگاه اندازه گیری دما.....
۵۷	۱۱-۵ - طراحی آزمایش.....
۵۸	۱۲-۵ - نحوه چیدمان مجموعه و کارگذاری ترمومتر لیزری.....
۵۹	۱۳-۵ - نتایج اندازه گیری تجربی دما.....
۶۱	۶- شبهه سازی اجزای محدود تراشکاری.....
۶۲	۱-۶ - مقدمه.....
۶۴	۲-۶ - شکل گیری براده.....
۶۵	۲-۲-۶ - معیارهای هندسی جدایش گرهها.....
۶۵	۳-۲-۶ - معیارهای فیزیکی جدایش گرهها.....
۶۶	۳-۶ - فرآیند برش فلزات.....
۶۶	۱-۳-۶ - انواع تراشکاری متعامد.....
۶۶	۲-۳-۶ - مکانیک برش متعامد.....
۶۸	۴-۶ - شبیه سازی فرآیند تراشکاری متعامد به کمک نرم افزار <i>ABAQUS</i> .....
۶۸	۱-۴-۶ - مقدمه.....
۶۹	۲-۴-۶ - معرفی نرم افزار <i>ABAQUS</i> .....
۷۱	۳-۴-۶ - واحد و سیستم مختصات.....
۷۱	۴-۴-۶ - مدلسازی قطعه کار.....
۷۱	۵-۴-۶ - مدلسازی هندسه ابزار.....
۷۳	۴-۶-۶ - خواص فیزیکی و مکانیکی قطعه کار و ابزار.....
۷۳	۷-۴-۶ - معادله الاستیک خطی.....

۷۴	۶-۴-۸-۴-۶- معادله پلاستیسیته.....
۷۴	۶-۴-۸-۱- آزمایش مکانیکی نرخ کرنش بالا توسط میله هاپکینسون.....
۷۷	۶-۴-۹- شکل‌گیری براده.....
۷۷	۶-۴-۱۰- انتخاب نوع تحلیل برای فرآیند ماشینکاری.....
۸۰	۶-۴-۱۱- اعمال حرکت ارتعاشی به ابزار و مدت زمان تحلیل .....
۸۱	۶-۴-۱۲- شرایط مرزی و اولیه.....
۸۲	۶-۴-۱۳- تکنیک مشبندی و انتخاب نوع المان.....
۸۳	۶-۴-۱۴- مشبندی انطباقی.....
۸۳	۶-۴-۱۴-۱- فرمول لاگرانژی.....
۸۳	۶-۴-۱۴-۲- فرمول اولیری.....
۸۴	۶-۴-۱۴-۳- فرمول <i>ALE</i> .....
۸۵	۶-۴-۱۵- الگوریتم تماس بین ابزار و قطعه کار.....
۸۶	۶-۴-۱۶- مدل اصطکاک بین ابزار و براده.....
۸۸	۶-۴-۱۷- تحلیل کوپل دما-تنش.....
۸۸	۶-۴-۱۷-۱- محاسبات المانی و گرهای:.....
۸۹	۶-۴-۱۷-۲- محاسبات تولید حرارت:.....
۹۱	۶-۴-۱۷-۳- ضریب هدایت گرمایی بین ابزار و براده.....
۹۱	۶-۴-۱۷-۴- انتقال حرارت به کمک همرفت.....
۹۳	۶-۵- نمونه‌ای از تحلیل دمایی شبیه‌سازی اجزای محدود دو فرآیند <i>CT</i> و <i>UAT</i> .....
۹۵	۶-۶- نمونه‌ای از تحلیل نیرویی شبیه‌سازی اجزای محدود دو فرآیند <i>CT</i> و <i>UAT</i> .....
۹۶	۶-۷- مشخصات سیستم کامپیوتری بکار گرفته شده در شبیه‌سازی عددی.....
۹۷	۶-۸- بحث و نتیجه‌گیری .....
۱۰۳	۷- فصل ۷- نتایج و پیشنهادها.....
۱۰۴	۷-۱- نتایج.....
۱۰۵	۷-۲- پیشنهادها.....
۱۰۶	۷- واژه‌نامه .....
۱۱۴	۷- مراجع .....

## فهرست شکل‌ها

عنوان.....	صفحه
شکل (۱-۱) نمونه‌ای از فرآیند <i>RUM</i> .....	۶
شکل (۲-۱) فرزکاری سطوح پیچیده با ابزار ارتعاشی بیضوی.....	۸
شکل (۱-۲) هورن و سیستم ارتعاش قطعه کار در سنتگرنی خشک .....	۱۴
شکل (۲-۲) هورن و سیستم ارتعاش ابزار در سوراخکاری.....	۱۴
شکل (۳-۲) (a): هورن نمایی با مقطع دایروی، (b): هورن نمایی با مقطع مستطیلی، (c): هورن نمایی حلقوی، (d): هورن مخروطی، (e): هورن پله‌ای با مقطع دایروی .....	۱۵
شکل (۴-۲) هورن آلومینیمی استوانه‌ای - مخروطی زائده‌دار .....	۱۶
شکل (۵-۲) کاربرد امواج آلتراسونیک بر اساس محدوده فرکانس‌ها.....	۱۸
شکل (۱-۳) سیستم غیررزومناسی ماشینکاری به کمک ارتعاشات بیضوی <i>2D VAM</i> .....	۲۱
شکل (۲-۳) (a): اعمال ارتعاشات در راستای سرعت برشی ،(b): اعمال ارتعاشات در راستای عمق برش، (c): اعمال ارتعاشات در راستای پیشروی .....	۲۲
شکل (۳-۳) شماتیک جهت‌های ارتعاشی در فرآیند <i>UAT</i> .....	۲۲
شکل (۴-۳) شکل شماتیک فرآیند ماشینکاری آلتراسونیک .....	۲۴
شکل (۵-۳) مکانیزم براده‌برداری: (a) نمودار نیروی محوری (b) نمودار نیروی برشی (c) نمودار نیروی برشی .....	۲۴
شکل (۶-۳) (a). مقایسه عدم گردی در دو فرآیند تراشکاری معمولی و <i>UAT</i> .....	۲۷
شکل (۷-۳) (a). مقایسه نیروهای فرآیند <i>UAT</i> و <i>CT</i> حاصل از شبیه سازی روی آلیاژ <i>Inconel 718</i> .....	
(b). نتایج تجربی مقایسه نیروها در جهت پیشروی، شعاعی و سرعت برشی روی آلیاژ <i>Inconel 738</i> .....	۲۸
شکل (۸-۳) کارسختی نسبت به فاصله از سطح در دو حالت <i>CT</i> و <i>UAT</i> .....	۲۹
شکل (۹-۳) تنش‌های پسماند نسبت به فاصله از سطح، در دو حالت <i>CT</i> و <i>UAT</i> .....	۲۹
شکل (۱۰-۳) تأثیر سرعت برشی روی پهنه‌ای سایش ابزار ( <i>VB</i> ) بعد از ۱۰ دقیقه تراشکاری .....	۳۰
شکل (۱۱-۳) مقایسه نیروی برشی در فرآیند <i>UAT</i> برای دو حالت روانکاری و غیر روانکاری .....	۳۱
شکل (۱-۴) مساحتی از ناحیه برشی که حرارت ایجاد می‌شود .....	۳۴
شکل (۲-۴) یک نمونه از توزیع حرارت ماشینکاری روی ابزار (عکسبرداری با دوربین <i>IR-CCD</i> در $4ms$ ) .....	۳۶
شکل (۳-۴) توزیع دمای قطعه کار و براده در تراش متعامد فولاد آسان تراش .....	۳۷
شکل (۴-۴) مدل ساده شده آنالیز گرمایی با فرض دو منبع و صفحه تولید گرما .....	۴۱
شکل (۵-۴) شماتیک صفحات برشی ارنست - مرچنت .....	۴۲

شکل (۶-۴) مدلی برای تخمین میزان کرنش برشی در فلزتراشی.....	۴۳
شکل (۷-۴) منحنی نیروی اصطکاک ارتعاشی لحظه‌ای بر حسب سرعت لغزش نسبی.....	۴۷
شکل (۸-۴) نسبت انرژی تلف شده و ضریب اصطکاک بر حسب مقدار سرعت لغزش نسبی.....	۴۹
شکل (۹-۴) سخت شوندگی آلتراسونیکی کریستال روی.....	۵۱
شکل (۱-۵) آماده سازی اولیه قطعه کار برای تراشکاری متعامد.....	۵۴
شکل (۲-۵) هندسه ابزار کاربیدی با پوشش تیتانیوم نیتراید بکاررفته در فرآیند <i>UAT</i> .....	۵۵
شکل (۳-۵): مجموعه اتصال هورن، ابزار و بوش. (b): ژنراتور (c): مجموعه گیره و ترانسدیوسر لانگوین (d): دینامومتر <i>KISTLER- 9257BA</i> .....	۵۶
شکل (۴-۵) نمایی از دستگاه تراش <i>CNC- TME40</i> .....	۵۶
شکل (۵-۵) نمایی از دستگاه ترمومتر لیزری.....	۵۷
شکل (۶-۵) نحوه چیدمان مجموعه فرآیند <i>UAT</i> برای تراش متعامد.....	۵۸
شکل (۷-۵) نمونه براده فرآیند <i>UAT</i> قطعه کار آلومینیومی <i>AL7075-T6</i> با (سرعت دورانی $65 rpm$ ، عمق برش $3 mm$ ، دامنه ارتعاشی $6 \mu m$ و فرکانس $20 kHz$ ) (a): نرخ پیشروی $a_f = 0.1 mm/rev$ (b): نرخ پیشروی $a_f = 0.2 mm/rev$ .....	۵۹
شکل (۸-۵) دیاگرام نیروی برشی ( $F_c$ ), نیروی محوری ( $F_z$ ) و نیروی شعاعی ( $F_Y$ ), ماشینکاری <i>CT</i> در دو حالت تجربی ( <i>Exp</i> ) و شبیه‌سازی عددی ( <i>Num</i> ), با سرعت دورانی $N=65 rpm$ , نرخ پیشروی $a_p = 3 mm$ و عمق برش $a_f = 0.2 mm/rev$ .....	۶۰
شکل (۹-۵) دیاگرام نیروی برشی ( $F_c$ ), نیروی محوری ( $F_z$ ) و نیروی شعاعی ( $F_Y$ ), ماشینکاری <i>UAT</i> در دو حالت تجربی ( <i>Exp</i> ) و شبیه‌سازی عددی ( <i>Num</i> ) با سرعت دورانی $N=65 rpm$ , نرخ پیشروی $a_p = 3 mm$ , عمق برش $a_f = 0.2 mm/rev$ و دامنه ارتعاشی $f=20 kHz$ و دامنه ارتعاشی $a=10 \mu m$ .....	۶۰
شکل (۱-۶) نمونه‌ای از فرآیند شکل‌گیری براده آلیاژ <i>AL7075-T6</i> .....	۶۴
شکل (۲-۶) معیار هندسی جدایش گره‌ها، فاصله لبه برشی ابزار تا گره بعدی (a) کمتر از حد بحرانی <i>D</i> .....	۶۵
شکل (۳-۶) تراشکاری متعامد، پیشروی در راستای شعاعی با پهنه‌ی برش ثابت و سرعت برشی متغیر.....	۶۷
شکل (۴-۶) تراشکاری متعامد، پیشروی در راستای محوری با عمق برش و سرعت برشی ثابت.....	۶۷
شکل (۵-۶) هندسه ابزار: (a): عکس میکروسکوپی از لبه ابزار تراشکاری، (b): مدل اجزای محدود ابزار.....	۷۲
شکل (۶-۶) شکل شماتیک آزمایش میله فشار شکافت هاپکینسون ( <i>SHPB</i> ).....	۷۶
شکل (۷-۶) شرایط مرزی و نوع مشبندی فرآیند تراشکاری معمولی.....	۸۱
شکل (۸-۶) شکل شماتیک نفوذ سطح اصلی به سطح پیرو در تماس دوگانه.....	۸۵
شکل (۹-۶) منحنی توزیع تنش‌های نرمال و اصطکاکی در سطح براده ابزار.....	۸۶

شکل (۱۰-۶) کانتورهای دمایی ابزار کاربیدی حاصل از شبیه‌سازی اجزای محدود در  $0.225 \text{ mm}/\text{rev}$  ثانیه پس از شروع ماشینکاری  $UAT$  با سرعت دورانی  $N=50 \text{ rpm}$ ، نرخ پیشروی  $a_f = 0.2 \text{ mm}/\text{rev}$ ، عمق برش  $a_p = 3 \text{ mm}$ ، دامنه ارتعاشی  $a = 10 \mu\text{m}$  و فرکانس ارتعاشی  $f = 20 \text{ kHz}$  (a): ابزار در نقطه انتهای برگشت (b): ابزار در نقطه انتهای رفت.

شکل (۱۱-۶) نمونه‌ای از کانتورهای دمایی شبیه‌سازی اجزای محدود تراشکاری متعامد  $CT$  و  $UAT$ ، ابزار کاربیدی و قطعه کار  $AL7075-T6$  در سرعت دورانی ثابت  $N=50 \text{ rpm}$ ، عمق برش  $a_p = 3 \text{ mm}$  با نرخ پیشروی، دامنه و فرکانس ارتعاشی مختلف. (a):  $CT, a_f = 0.2 \text{ mm}/\text{rev}$ ; (b):  $CT, a_f = 0.1 \text{ mm}/\text{rev}$ ; (c):  $UAT, a_f = 0.1 \text{ mm}/\text{rev}$ ; (d):  $UAT, a_f = 0.1 \text{ mm}/\text{rev}$ ; (e):  $UAT, a_f = 0.1 \text{ mm}/\text{rev}$ ; (f):  $UAT, a_f = 0.1 \text{ mm}/\text{rev}$ ; (g):  $UAT, a_f = 0.1 \text{ mm}/\text{rev}$ ; (h):  $UAT, a_f = 0.1 \text{ mm}/\text{rev}$ .

شکل (۱۲-۶) دیاگرام نیروی برشی ( $F_c$ ) و نیروی محوری ( $F_z$ ) حاصل از شبیه‌سازی ماشینکاری  $CT$  و  $UAT$ ، قطعه کار  $AL7075-T6$  با سرعت دورانی  $N=50 \text{ rpm}$ ، نرخ پیشروی  $a_f = 0.2 \text{ mm}/\text{rev}$ ، عمق برش  $a_p = 3 \text{ mm}$ ، فرکانس ارتعاشی  $f = 20 \text{ kHz}$  و دامنه‌های ارتعاشی  $a = 10 \mu\text{m}$ ،  $a = 8 \mu\text{m}$ ،  $a = 6 \mu\text{m}$ ،  $a = 4 \mu\text{m}$ ،  $a = 2 \mu\text{m}$  و  $a = 1 \mu\text{m}$ .

شکل (۱۳-۶) افزایش دمای نوک ابزار حاصل از شبیه‌سازی فرآیند  $CT$ ، از شروع ماشینکاری تا پایداری دمایی، در سرعت‌های دورانی  $N=50-65 \text{ rpm}$  و نرخ پیشروی  $a_f = 0.1 \text{ mm}/\text{rev}$  با عمق برش ثابت  $a_p = 3 \text{ mm}$ .

شکل (۱۴-۶) مقایسه ماکریزم دمای ابزار در ماشینکاری  $CT$  قطعه کار  $AL7075-T6$ ، با تغییر سرعت برشی ( $Vc$ ) و نرخ پیشروی ( $a_f$ ): نتایج شبیه‌سازی اجزای محدود، ابزار با زاویه براده ۴ درجه در تحقیق حاضر. (b): نتایج تجربی و شبیه‌سازی تفاضل محدود با زاویه براده ۶ درجه.

شکل (۱۵-۶) ماکریزم دمای ابزار در تراشکاری با سرعت دورانی  $50 \text{ rpm}$ . نرخ پیشروی  $0.1 \text{ mm}/\text{rev}$ ، عمق برش  $3 \text{ mm}$  برای دو حالت ماشینکاری  $CT$  و  $UAT$  با فرکانس ارتعاشی  $20 \text{ kHz}$  در دامنه‌های ارتعاشی  $a = 10 \mu\text{m}$ ،  $a = 8 \mu\text{m}$  و  $a = 6 \mu\text{m}$ .

شکل (۱۶-۶) ماکریزم دمای ابزار در تراشکاری با سرعت دورانی  $50 \text{ rpm}$ . نرخ پیشروی  $0.2 \text{ mm}/\text{rev}$ ، عمق برش  $3 \text{ mm}$  برای دو حالت ماشینکاری  $CT$  و  $UAT$  با فرکانس ارتعاشی  $20 \text{ kHz}$  در دامنه‌های ارتعاشی  $a = 10 \mu\text{m}$ ،  $a = 8 \mu\text{m}$  و  $a = 6 \mu\text{m}$ .

شکل (۱۷-۶) ماکریزم دمای ابزار در تراشکاری با سرعت دورانی  $65 \text{ rpm}$ . نرخ پیشروی  $0.1 \text{ mm}/\text{rev}$ ، عمق برش  $3 \text{ mm}$  برای دو حالت ماشینکاری  $CT$  و  $UAT$  با فرکانس ارتعاشی  $20 \text{ kHz}$  در دامنه‌های ارتعاشی  $a = 10 \mu\text{m}$ ،  $a = 8 \mu\text{m}$  و  $a = 6 \mu\text{m}$ .

شکل (۱۸-۶) ماکزیمم دمای ابزار در تراشکاری با سرعت دورانی  $65\text{ rpm}$ . نرخ پیشروی  $0.2\text{ mm/rev}$  عمقبرش  $3\text{ mm}$  برای دو حالت ماشینکاری  $CT$  و  $UAT$  با فرکانس ارتعاشی  $20\text{ kHz}$  در دامنه‌های ارتعاشی  $100 \dots a=10\mu\text{m}$  و  $a=8\mu\text{m}$  ،  $a=6\mu\text{m}$

شکل (۱۹-۶) ماکزیمم دمای ابزار در تراشکاری با سرعت دورانی  $80\text{ rpm}$ . نرخ پیشروی  $0.1\text{ mm/rev}$  عمقبرش  $3\text{ mm}$  برای دو حالت ماشینکاری  $CT$  و  $UAT$  با فرکانس ارتعاشی  $20\text{ kHz}$  در دامنه‌های ارتعاشی  $101 \dots a=10\mu\text{m}$  و  $a=8\mu\text{m}$  ،  $a=6\mu\text{m}$

شکل (۲۰-۶) ماکزیمم دمای ابزار در تراشکاری با سرعت دورانی  $80\text{ rpm}$ . نرخ پیشروی  $0.2\text{ mm/rev}$  عمقبرش  $3\text{ mm}$  برای دو حالت ماشینکاری  $CT$  و  $UAT$  با فرکانس ارتعاشی  $20\text{ kHz}$  در دامنه‌های ارتعاشی  $101 \dots a=10\mu\text{m}$  و  $a=8\mu\text{m}$  ،  $a=6\mu\text{m}$

شکل (۲۱-۶) ماکزیمم دمای ابزار در فرآیند  $UAT$  با سرعت دورانی  $N=50\text{ rpm}$ ، نرخ پیشروی  $a_f=0.1\text{ mm/rev}$  ، در ۳ حالت، ۱-دامنه ارتعاشی  $a=10\mu\text{m}$  با فرکانس  $f=20\text{ kHz}$  ، ۲-دامنه  $a=8\mu\text{m}$  با فرکانس  $f=33333\text{ Hz}$  و ۳-دامنه  $a=6\mu\text{m}$  با فرکانس  $f=26666\text{ Hz}$

## فهرست جدول‌ها

عنوان.....	صفحه .....
جدول (۱-۴) ضریب هدایت گرمایی مواد مختلف ابزار در ( $m^o C / W$ ) برای $100^o$ .....	۴۴
جدول (۱-۵) ترکیب شیمیایی آلیاژ $AL7075-T6$ (آزمایشگاه متالوژی رازی).....	۵۳
جدول (۱-۶) مقادیر هندسی ابزار.....	۷۲
جدول (۲-۶) خواص مواد ابزار و قطعه کار.....	۷۳
جدول (۳-۶) جدول ضرایب سخت شوندگی $Johnson-Cook$ آلیاژ $AL7075-T6$ آلیاژ $Johnson-Cook Damage$ .....	۷۶
جدول (۴-۶) ضرایب پارامترهای $Johnson-Cook Damage$ آلیاژ $AL7075-T6$ آلیاژ $Johnson-Cook Damage$ <i>defined.</i> .....	
جدول (۵-۶) خواص هوای خشک در فشار یک اتمسفر.....	۹۳

## نمادها

شرح	نماده
تنش سیلان قطعه کار در رابطه Johnson-Cook	A
ضریب شیب ناحیه تماس	A <sub>f</sub>
مساحت سطح مقطع قطعه کار	A <sub>w</sub>
دامنه ارتعاشی	a
ضخامت براده تغییرشکل یافته	a <sub>0</sub>
ضخامت براده تغییرشکل نیافته	a <sub>c</sub>
نرخ پیشروی	a <sub>f</sub>
عمق برش	a <sub>p</sub>
پهنای براده	a <sub>w</sub>
مدول سخت شوندگی قطعه کار در رابطه Johnson-Cook	B
گرمایی ویژه قطعه کار	c
ضریب حساسیت نرخ کرنش قطعه کار در رابطه Johnson-Cook	C
سرعت صوت در مواد	C <sub>0</sub>
ظرفیت گرمایی براده گرم	C <sub>hc</sub>
سرعت موج	C <sub>s</sub>
ماتریس الاستیک	D <sup>el</sup>
قطر قطعه کار	d
ضرایب شکست رابطه Johnson-Cook	d <sub>1-d2-d3-d4-d5</sub>
لقی گپ	d <sub>g</sub>
مدول یانگ	E
انرژی گرمایی هدایت شده به براده	E <sub>C</sub>
انرژی گرمایی هدایت شده به ابزار	E <sub>T</sub>
نیروی تراش	F <sub>c</sub>
مجموع نیروهای داخلی	F <sub>I</sub>
بردار شار داخلی	F <sup>J</sup>
بردار نیروی داخلی المان	F <sub>I</sub> <sup>J</sup>
بردار نیروی خارجی المان	F <sub>O</sub> <sup>J</sup>
برآیند نیرو در راستای عمود بر قلم	F <sub>N</sub>
مجموع نیروهای خارجی	F <sub>O</sub>
برآیند نیرو به موازات سطح براده	F <sub>P</sub>
نیروی اصطکاک بدون اعمال ارتعاشات بین ابزار و قطعه کار	F <sub>R</sub>
میانگین نیروی اصطکاک در طول زمان ارتعاش	$\tilde{F}_R$
نیروی اصطکاک لحظه‌ای در طول زمان ارتعاش	$\tilde{F}_R(t)$
نیروی برش در راستای صفحه برش	F <sub>S</sub>

برآیند نیرو ماشینکاری در راستای مماسی	$F_z$
برآیند نیروی عمودی بین ابزار ارتعاش و قطعه کار	$F_n$
برآیند نیروی عمودی وارد بر صفحه برش	$F_{ns}$
میزان نیروی لازم برای اعمال تغییرشکل با اعمال ارتعاشات	$F_{vd}$
برآیند نیرو ماشینکاری در راستای شعاعی	$F_y$
فرکانس ارتعاشی	$f$
ارتفاع قطعه کار	$H$
ظرفیت گرمایی ویژه براده	$HC_{PC}$
ظرفیت گرمایی ویژه ابزار	$HC_{PT}$
شدت صوتی	$I$
معادل مکانیکی گرما	$J$
سختی استاتیکی	$K_0$
گپ هدایتی	$K_{gc}$
ضریب هدایت گرمایی	$k$
ضریب هدایت گرمایی خنک کار	$k_{co}$
ضریب هدایت گرمایی قطعه کار	$k_w$
طول سطح تماس بین ابزار و براده	$L_C$
میزان جابجایی قطعه-کار در یک دوره ارتعاشی	$l_T$
ماتریس جرم	$M$
ضریب نرم‌شوندگی گرمایی قطعه کار در رابطه Johnson-Cook	$m$
تعداد دور در دقیقه	$N$
عدد ناسلت	$Nu$
ضریب سخت‌شوندگی کرنشی قطعه کار در رابطه Johnson-Cook	$n$
فشار	$P$
بردار منبع گرهای	$P^J$
صفحه لبه براده ابزار	$P_f$
صفحه برش	$P_s$
فشار صوت	$P_{SO}$
توان اصطکاکی	$p_f$
توان تغییرشکل برای برش متعامد	$p_s$
عدد پکلت	$Pe$
عدد پرانتل	$Pr$
میزان دبی حرارت ورودی به براده	$Q_C$
گرمای اتلاف شده	$Q_L$
نرخ جاری شدن گرما در واحد حجم	$Q^{pl}$
میزان دبی حرارت ورودی به ابزار	$Q_t$
میزان دبی حرارت ورودی به قطعه کار	$Q_W$
حرارت ناشی از اصطکاک میان ابزار و براده	$q_f$

شار گرمایی در سطح براده	$q_A$
شار گرمایی در سطح ابزار	$q_B$
حرارت ناشی از اصطکاک میان ابزار و قطعه کار	$q_r$
حرارت ناشی از تغییرشکل در صفحه برش	$q_s$
عدد رینولدز	$Re$
نسبت تراش	$r_c$
پریود زمانی	$T$
زمان خالص بروخورد ابزار با قطعه کار	$t_C$
مقدار درجه آزادی جابجایی	$U^N$
ماتریس شتاب	$\dot{U}$
انرژی مخصوص تغییرشکل	$u_d$
انرژی مخصوص برش	$u_s$
سرعت تراش	$V_c$
سرعت براده	$V_{ch}$
سرعت بحرانی قطعه کار	$V_{cri}$
سرعت برش در امتداد صفحه برش	$V_S$
سرعت ارتعاش ابزار	$V_t$
سرعت قطعه کار در راستای ارتعاشات	$V_w$
سرعت جریان آزاد هوا	$V_\infty$
مؤلفه ثابت سرعت ارتعاشی	$\tilde{V}$
معیار گسیختگی	$W$
کار مکانیکی حاصل از اصطکاک ماشینکاری	$W_f$
کار مکانیکی ماشینکاری	$W_m$
کار مکانیکی حاصل از تغییرشکل در ماشینکاری	$W_s$
انرژی لغزشی در حالت اعمال ارتعاشات	$W_{us}$
امپدانس صوتی ویژه	$Z$
زاویه براده	$\alpha$
انرژی لازم برای تغییرشکل براده	$\Gamma_1$
انرژی اصطکاکی حاصل از جریان براده	$\Gamma_2$
وزن مخصوص براده	$\gamma_{sc}$
نرخ لغزش	$\dot{\gamma}$
میزان تغییرشکل	$\Delta H$
نمودار پلاستیک	$\Delta \bar{\varepsilon}$
پالس رویدادی	$\delta_I$
پالس منعکس شده	$\delta_R$
پالس جابجا شده	$\delta_T$
کرنش اسمی	$\varepsilon$
کرنش براده	$\varepsilon_{ch}$